Übersicht

2.6 Transport und Rekombination

- 2.6.1 Driftstrom
- 2.6.2 Diffusionsstrom
- 2.6.3 Halbleitergrundgleichungen
- 2.6.4 Rekombinationsprozesse

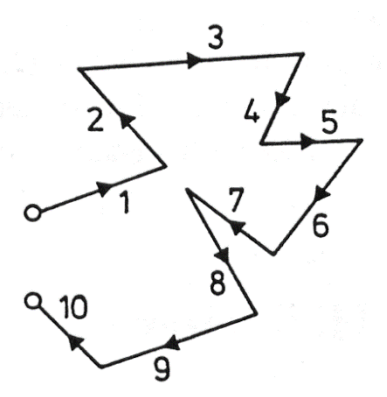
Ströme in Halbleitern

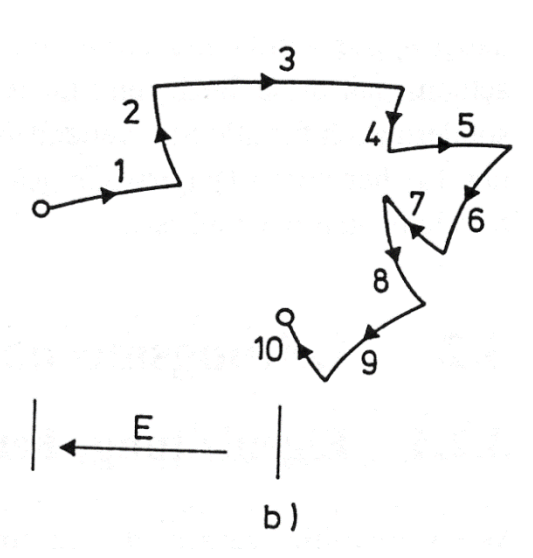
Strom im Halbleiter: Abfolge von Phasen der Beschleunigung und abrupten Stößen

Elektronen werden durch den Halbleiter getrieben

↓ "Drift"ströme

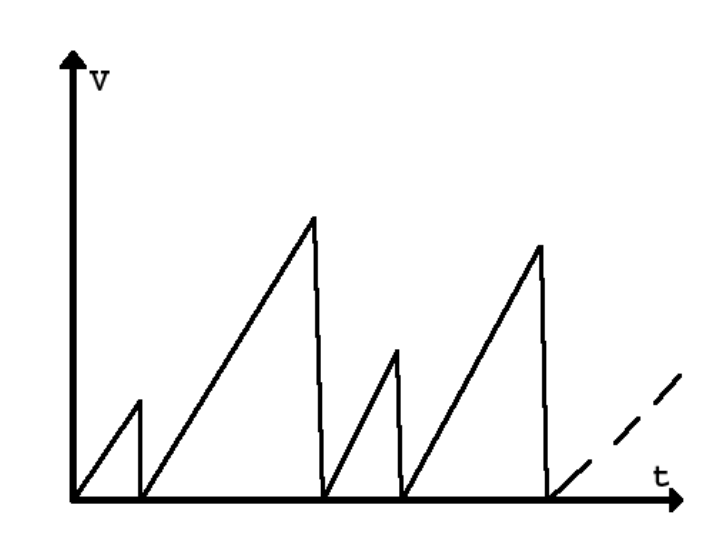
Elektronenbahn ohne/mit Feld





Driftströme

Elektronen werden im Mittel nach der Zeit τ durch Stoß mit Atomrumpf abrupt abgebremst.



Damit ergibt sich (nicht ganz sauber) als mittlere Geschwindigkeit:

$$\overline{V} = \frac{F}{m}\tau = \frac{qE\tau}{m^*} = \frac{-eE\tau}{m^*} \equiv -\mu E$$

Damit ergibt sich eine zentrale Größe für einen Halbleiter, die **Beweglichkeit** μ:

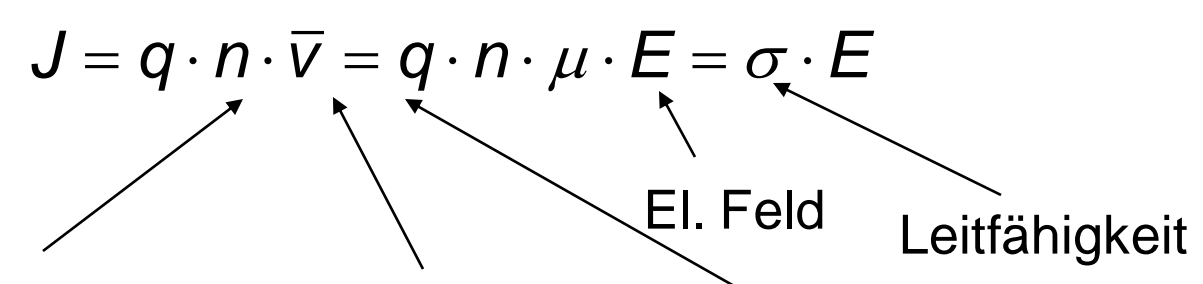
$$\mu = \frac{e\tau}{m^*}$$

Sie ist ein Maß dafür, wie schnell sich ein Elektron im Halbleiter unter Einwirkung des elektrischen Feldes bewirkt

Driftströme





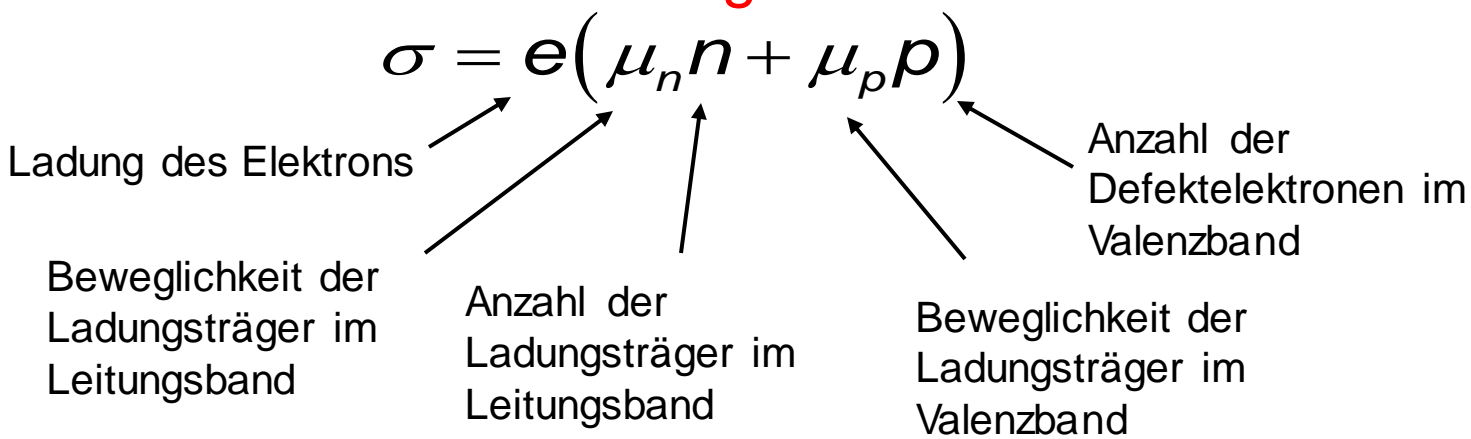


Ladung pro Teilchen (1e) (Einheit: C=As)

Dichte der Ladungen (Einheit: m⁻³ bzw cm⁻³)

mittlere Geschwindigkeit Einheit: m/s

Quantitativ wird die Leitfähigkeit o berechnet durch:



Primitives Bändermodell

Für die meisten Berechnungen sind nur wenige Bänder wichtig:

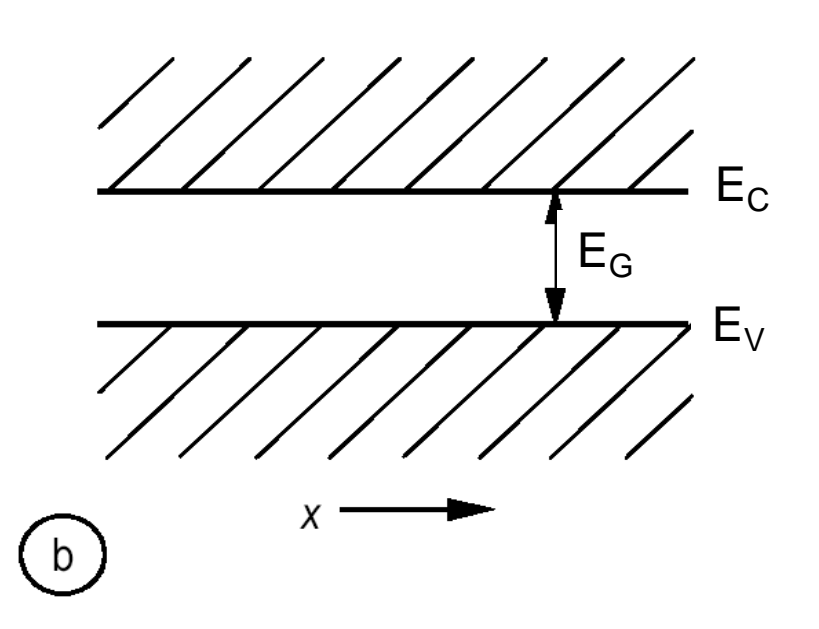
- ⇒ die (fast) gefüllten Bänder mit der höchsten Energie
- ⇒ die (fast) leeren Bänder mit der niedrigsten Energie

Die Bandstruktur wird dann in einem vereinfachten Bändermodell dargestellt:

E_C: Minimum des Leitungsbands (Conduction band)

E_V: Maximum des Valenzbandes (Valence band)

E_G: Energielücke (Energy gap)



Anzahl der Ladungsträger

Um die Anzahl der Ladungsträger zu berechnen müssen wir wissen, wie viele Zustände es insgesamt gibt.

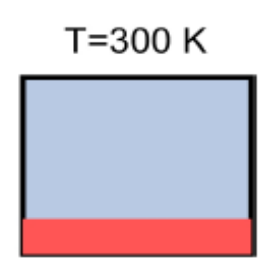
Die Anzahl der erlaubten Zustände pro Volumeneinheit und pro Energieintervall nennt man die Zustandsdichte g(W).

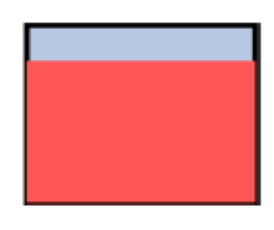
 Die Anzahl der Elektronen im Leitungsband (bzw. die Anzahl der Löcher im Valenzband) mit einer Energie W ist im thermischen Gleichgewicht gegeben durch:

$$n_W(W) = g_L(W)f(W)$$
bzw.

$$p_{W}(W) = g_{V}(W)(1-f(W))$$

 Durch Integrieren über alle Energien W erhält man die Gesamtzahl der Ladungsträger n bzw. p.

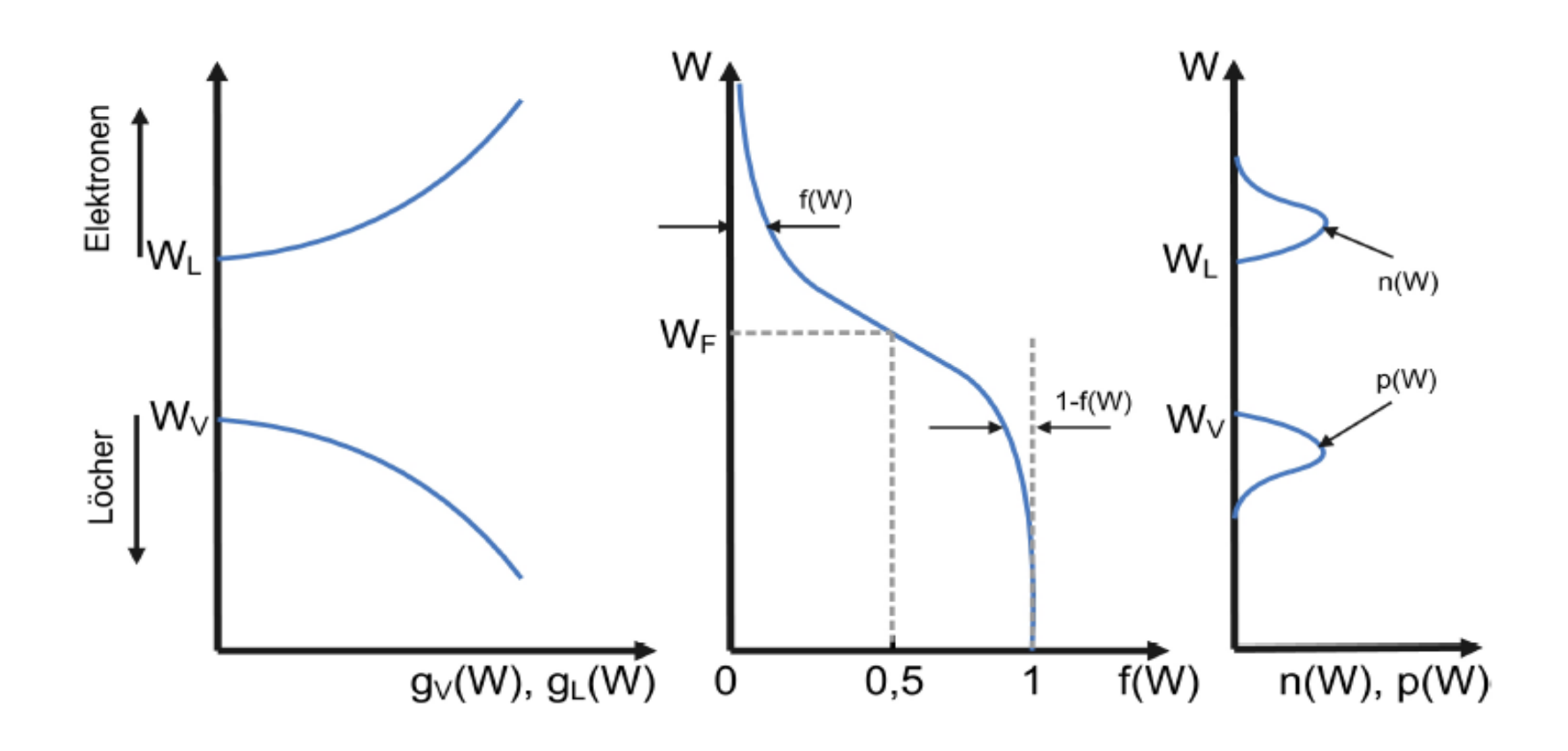




Anzahl/Dichte der Ladungsträger

Für die Anzahl der Ladungsträger gilt damit:

$$n_{th} = \int_{W_L}^{\infty} n_W(W) dW = \int_{W_L}^{\infty} g_L(W) f(W) dW \text{ bzw. } p_{th} = \int_{-\infty}^{W_V} p_W(W) dW = \int_{-\infty}^{W_V} g_V(W) \left(1 - f(W)\right) dW$$



Berechnung der Dichte der Ladungsträger

Es kann für die Besetzung des Leitungsbandes mit Elektronen abgeleitet werden:

$$n = N_L \exp\left(-\frac{W_L - W_F}{kT}\right) \text{ mit } N_L = 2\left(\frac{2\pi m_e kT}{h^2}\right)^{\frac{3}{2}}$$

Hierbei ist N_C ist die "effektive" Zustandsdichte des Leitungsbandes.

Es kann für die Besetzung des Valenzbandes mit Löchern abgeleitet werden:

$$p = N_V \exp\left(-\frac{W_F - W_V}{kT}\right) \text{ mit } N_V = 2\left(\frac{2\pi m_h kT}{h^2}\right)^{\frac{3}{2}}$$

Hierbei ist N_V ist die "effektive" Zustandsdichte des Valenzbandes

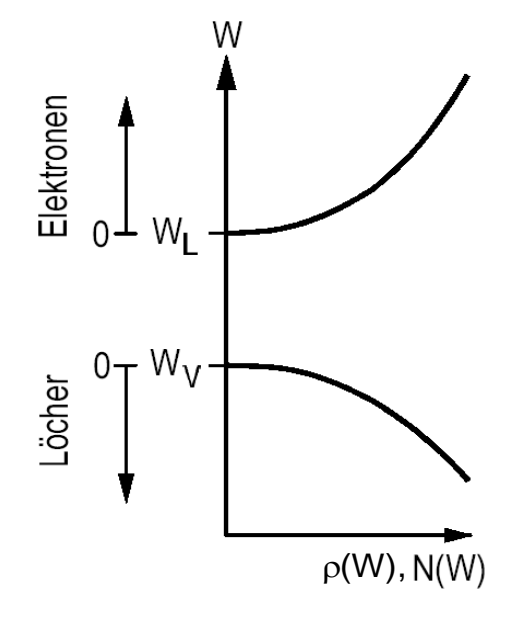
- -Beschreibung des Halbleiters durch zwei effektive Niveaus mit entsprechend großer Zustandsdichte
- -Besetzung erfolgt mit einem Boltzmann-Faktor.
- ...allerdings ist N_{C,V} kein echter Materialparameter, da T-abhängig

Der intrinsische Halbleiter ohne Beleuchtung

Multiplikation ergibt:

$$np = N_L \exp\left(-\frac{W_L - W_F}{k_B T}\right) N_V \exp\left(\frac{W_V - W_F}{k_B T}\right) =$$

$$= N_L N_V \exp\left(-\frac{W_L - W_V - W_F + W_F}{k_B T}\right) = N_L N_V \exp\left(-\frac{W_G}{k_B T}\right)$$
mit $W_G = W_L - W_V$



D.h. Elektronen- und Lochkonzentration stellen sich ein nach einer Art "Massenwirkungsgesetz"!

Für den intrinsischen Halbleiter gilt:

$$n_i = p_i = \sqrt{N_L N_V} \exp\left(-\frac{W_G}{2k_B T}\right)$$

Erinnerung: Quasi-Fermi-Verteilungen

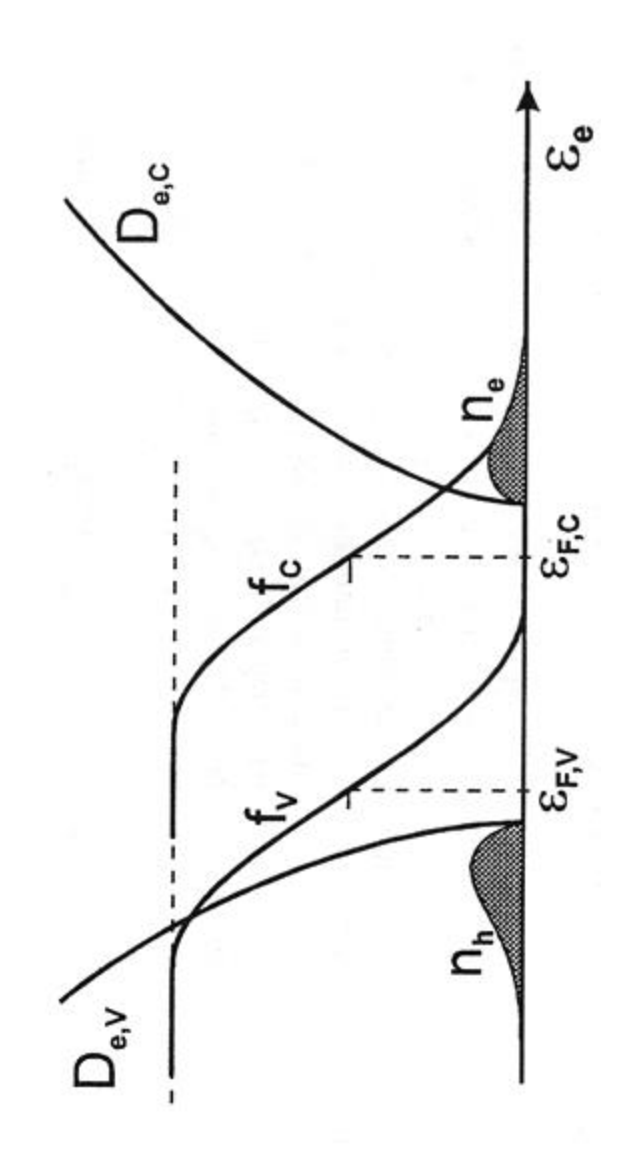
In der Solarzelle gilt dies gerade NICHT!

Ausweg: Statt durch eine Fermi-Verteilung erfolgt die Beschreibung der Ladungsträgerstatistik im Beleuchteten Halbleiter durch zwei Quasi-Fermi-Verteilungen, jeweils eine für die Löcher und eine für die Elektronen.

$$n_{e} \equiv n = N_{C} \exp(\frac{E_{F,e} - E_{C}}{kT})$$

$$n_{h} \equiv p = N_{V} \exp(-\frac{E_{F,h} - E_{V}}{kT})$$

- Solarzelle: Beleuchtung sorgt für $E_{F,h} \neq E_{F,e}$



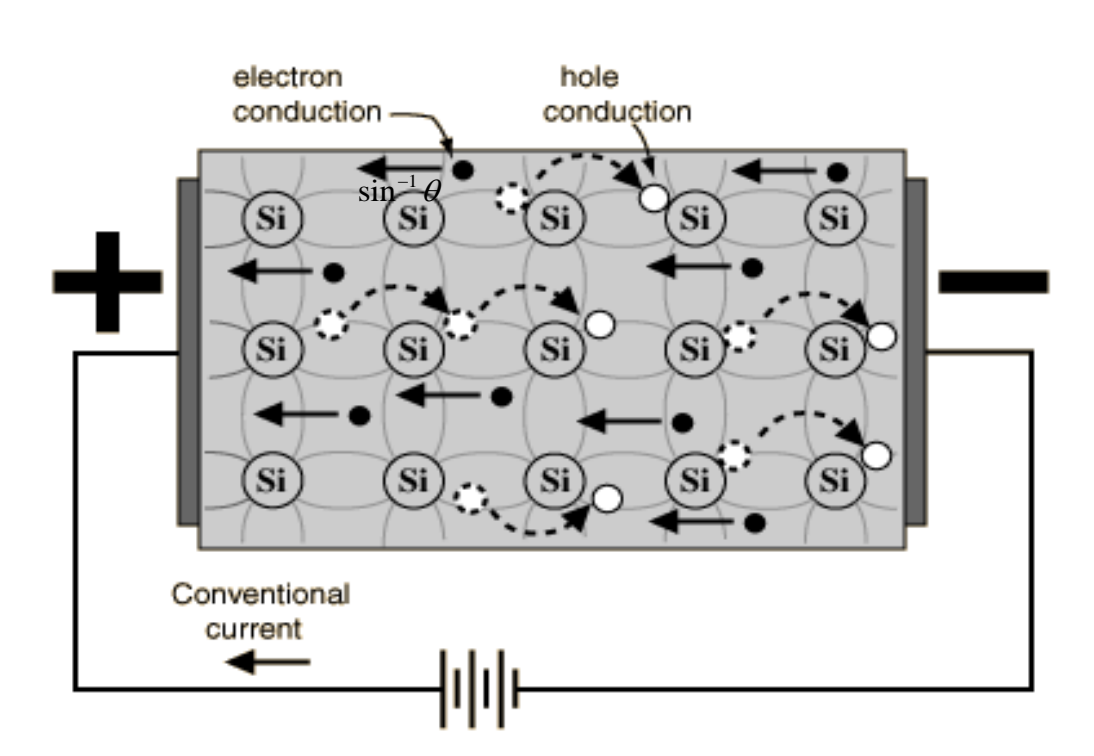
Damit haben wir den Strom #1: Den Driftstrom

Driftstrom (Feldstrom) J_F infolge eines elektrischen Feldes

- ⇒ Strom setzt sich aus einem Elektronen- und einem Löcheranteil zusammen
- ⇒ Leitfähigkeit hängt von der Ladungsträgerdichte und der Beweglichkeit ab

$$\vec{J}_{F} = \vec{J}_{n,F} + \vec{J}_{p,F}
= -en\vec{v}_{n} + ep\vec{v}_{p}
= e[n\mu_{n} + p\mu_{p}]\vec{E} = \sigma\vec{E}$$

$$\sigma = \mathbf{e} \Big[n \mu_n + p \mu_p \Big]$$



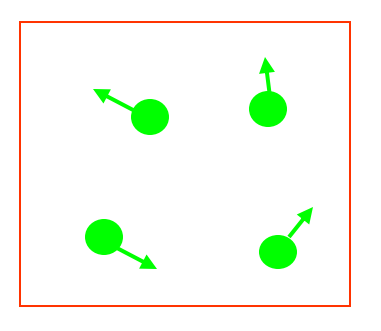
Source: http://hyperphysics.phy-astr.gsu.edu/hbase/solids/intrin.html

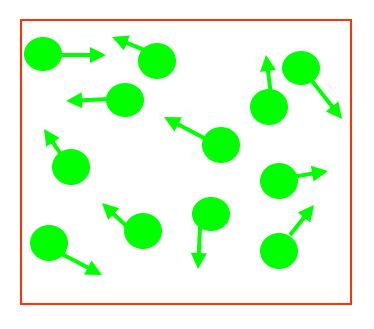
Übersicht

2.6 Transport und Rekombination

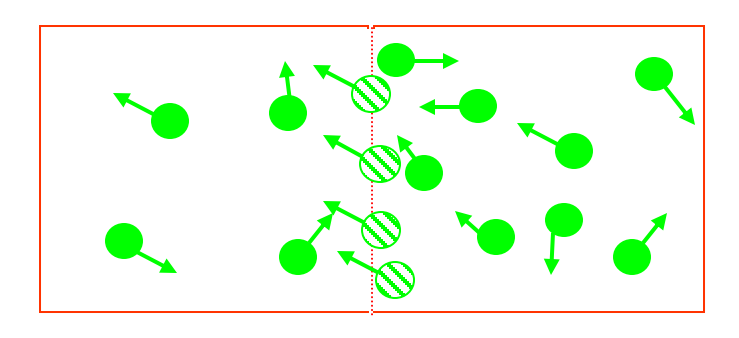
- 2.6.1 Driftstrom
- 2.6.2 Diffusionsstrom
- 2.6.3 Halbleitergrundgleichungen
- 2.6.4 Rekombinationsprozesse

Strom # 2: Diffusionsstrom







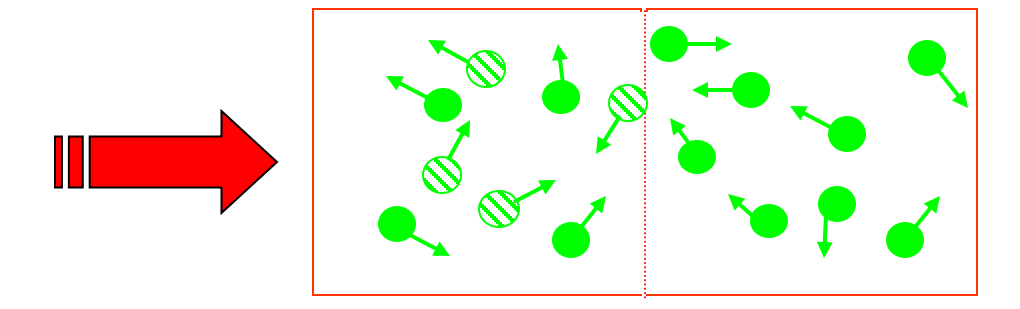


Zwei Bereiche mit verschiedener Konzentration an Ladungsträgern werden zusammengebracht



Es fließt ein Strom

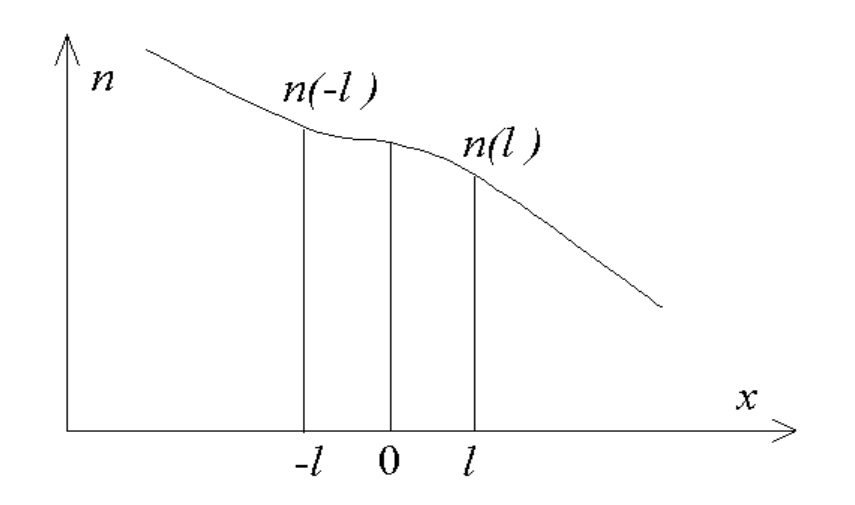
-im Durchschnitt bewegen sich mehr Träger aus dem Bereich höherer Konzentration zum Bereich niedrigerer Konzentration als anders herum

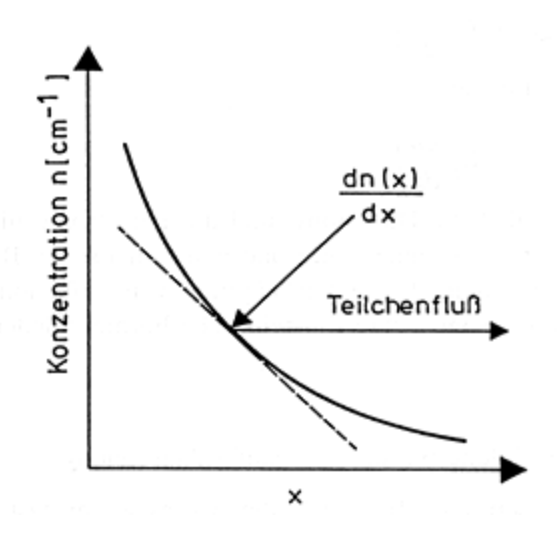


Es stellt sich eine statistische Gleichverteilung der Träger ein.

Strom # 2: Diffusionsstrom

–die Diffusionskonstanten D_n und D_p geben an, wieviel Strom bei einem gewissen Gradienten der e's bzw. h's fließt





eindimensional:

im Grenzübergang *l*→0:

$$J_{n,D} = eD_n \frac{dn}{dx}$$

bzw. für die Löcher:

$$J_{\rho,D} = -eD_{\rho} \frac{d\rho}{d\rho}$$

(unterschiedliches Vorzeichen für e's und h's!)

Strom # 2: Diffusionsstrom

Verallgemeinerung auf 3D:

$$J_{n,D} = eD_n \frac{dn}{dx}$$

$$\downarrow$$

$$\vec{J}_{n,D}(\vec{r}) = eD_n \nabla n(\vec{r})$$

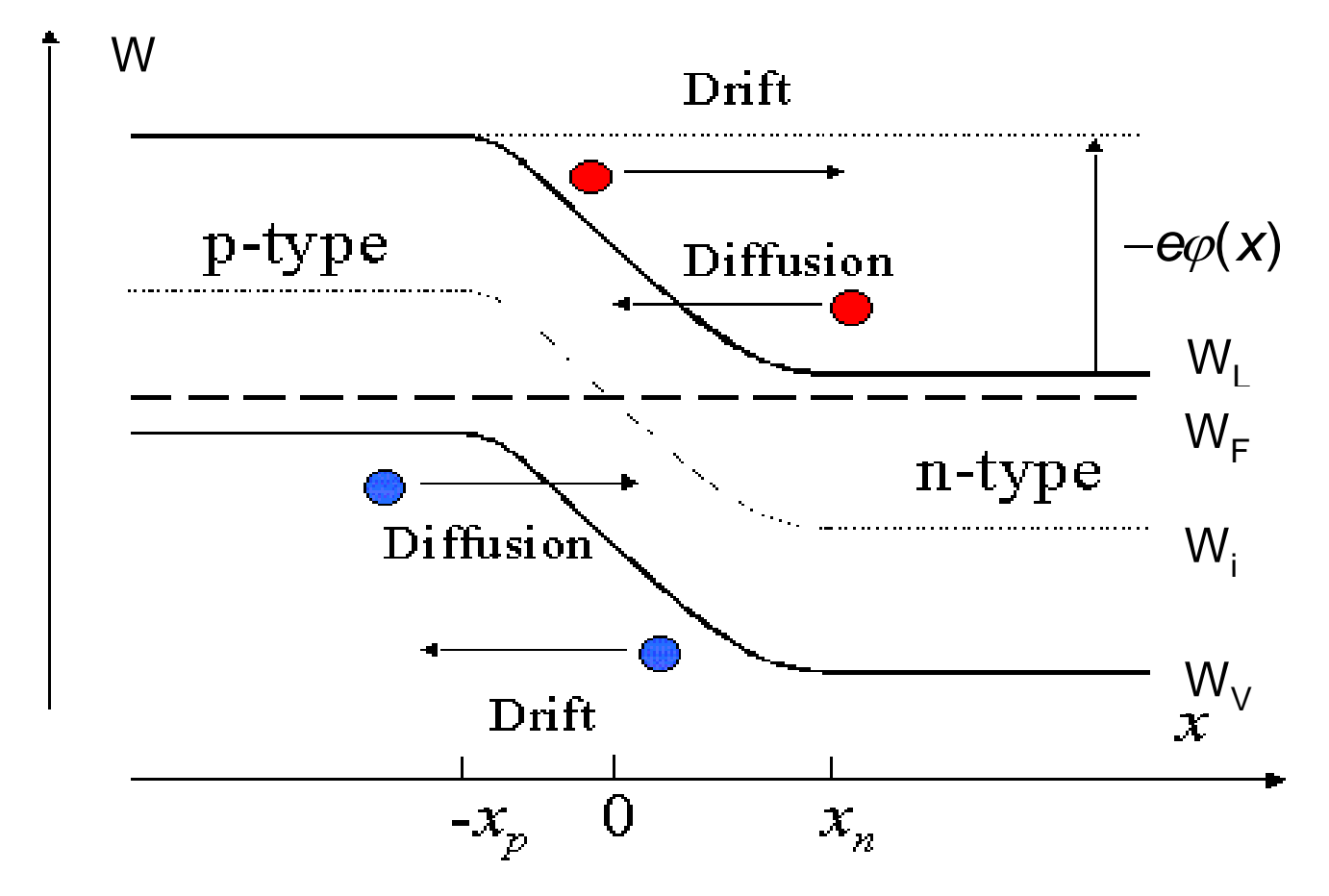
Insgesamt gilt also für die Diffusionsströme:

$$\vec{J} = \vec{J}_{n,D}(\vec{r}) + \vec{J}_{p,D}(\vec{r})$$

$$\vec{J}_{n,D}(\vec{r}) = eD_n \nabla n(\vec{r})$$

$$\vec{J}_{p,D}(\vec{r}) = -eD_p \nabla p(\vec{r})$$

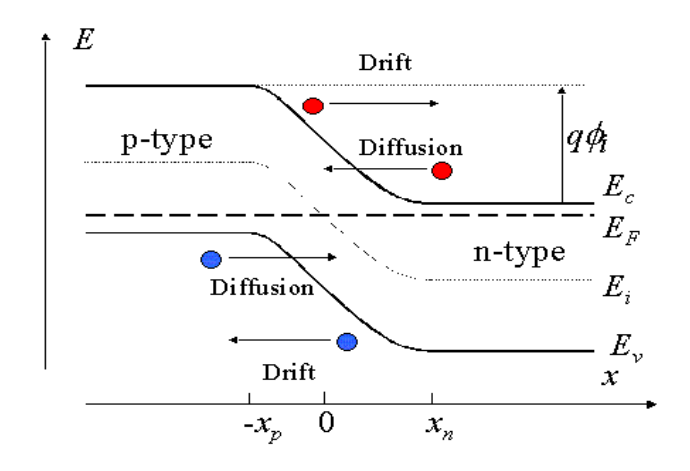
Zusammenhang von Drift und Diffusion



Die bekannte Ladungsträgerstatistik erlaubt uns auch für den Bereich mit Feld eine Vorhersage über die ortsabhängige Ladungsträgerdichte:

$$n(x) = N_L \exp\left(-\frac{W_L(\infty) - e\varphi(x) - W_F}{kT}\right)$$

Einsteinrelation



$$n(x) = N_L \exp\left(-\frac{W_L(\infty) - e\varphi(x) - W_F}{kT}\right)$$

Hier kommt zum Ausdruck, dass in das elektrochemische Potential ("Fermi-Niveau") in einem Halbleiter das elektrische Potential $\phi(x)$ mit eingeht. Da wir eine Aussage über Diffusionskonstanten machen wollen, macht es Sinn, den obigen Termin nach x abzuleiten:

$$\frac{\partial n(x)}{\partial x} = n(x) \frac{e}{kT} \frac{\partial \varphi(x)}{\partial x} = -n(x) \frac{e}{kT} E(x)$$

Hierbei ist $E=-grad \varphi(x)$ das ortsabhängige elektrische Feld.

Einsteinrelation

Nun kann ausgenutzt werden, dass sich im Gleichgewicht Drift- und Diffussionsströme gegenseitig kompensieren:

Aus
$$J_F = -J_D$$
 folgt $en(x)\mu_n E(x) = -eD_n \frac{\partial n}{\partial x}$

Setzt man nun die abgeleitete ortsabhängige Ladungsträgerdichte in diese Beziehung ein, so ergibt sich: $en(x)\mu_n E(x) = (-eD_n)(-n(x)\frac{e}{kT}E(x))$

Aus diesem Ausdruck kann das meiste weggekürzt werden, so dass man zur sogenannten **Einsteinrelation** kommt:

$$D_n = \frac{kT}{e} \mu_n$$

Die gleiche Ableitung ließe sich auch für die Löcher machen und man kommt auf diese Weise zu:

$$D_{\rho} = \frac{kT}{e} \mu_{\rho}$$

Diese hier am Spezialfall pn-Übergang hergeleitete Beziehung ist eine viel allgemeinere Beziehung der statistischen Thermodynamik und gilt z. B. genauso auch bei der Bewegung von Ionen in einer Elektrolytlösung.

Übersicht

2.6 Transport und Rekombination

2.6.1 Driftstrom

2.6.2 Diffusionsstrom

2.6.3 Halbleitergrundgleichungen

2.6.4 Rekombinationsprozesse

Ladungsträgerprozesse in Halbleitern

Es gibt in Halbleitern drei unterschiedliche Prozesse, durch die sich die Ladungsträgerdichte räumlich und/oder zeitlich verändern kann:

1. Driftstrom (
$$\vec{J}_F = \vec{J}_{n,F} + \vec{J}_{p,F} = \sigma \vec{E} = [en\mu_n + ep\mu_p] \vec{E}$$

⇒Ladungsträger bewegen sich aufgrund eines äußeren elektrischen Feldes:

$$ec{J_D}=ec{J_{n,D}}+ec{J_{p,D}}$$
 $ec{J_{n,D}}=+eD_n\operatorname{grad} n$ 2. Diffusionsstrom $ec{J_{p,D}}=-eD_p\operatorname{grad} p$

⇒Ladungsträger bewegen sich aufgrund eines Konzentrationsgradienten (D_n und D_p sind die Diffusionskonstanten der Elektronen bzw. Löcher):

$$g = g_{phonon} + g_{opt} + g_{Re\,k} + g_{Auger...}$$
$$r = r_{phonon} + r_{opt} + r_{Re\,k} + r_{Auger...}$$

Generation und Rekombination

•Die Trägergenerationsrate g setzt sich aus verschiedenen Anteilen zusammen:

$$\left(\frac{\partial n}{\partial t}\right)_{qen} = g = g(x, y, z, t) = g_{opt} + g_{phonon} + g_{St} + \dots$$

g_{opt}: Generationsrate durch Absorption von Photonen (Licht)

g_{phonon}: thermische Generationsrate durch Absorption von Gitter-Phononen

g_{St}: Generationsrate durch lonisation einer Störstelle

•Zu jedem Generationsprozess gibt es einen entsprechenden Rekombinationsprozess:

$$-\left(\frac{\partial n}{\partial t}\right)_{rec} = r = r(x, y, z, t) = r_{opt} + r_{phonon} + r_{St} + \dots$$

•Im thermischen Gleichgewicht gilt g = r und einzeln $g_i = r_i$!

Halbleitergrundgleichungen

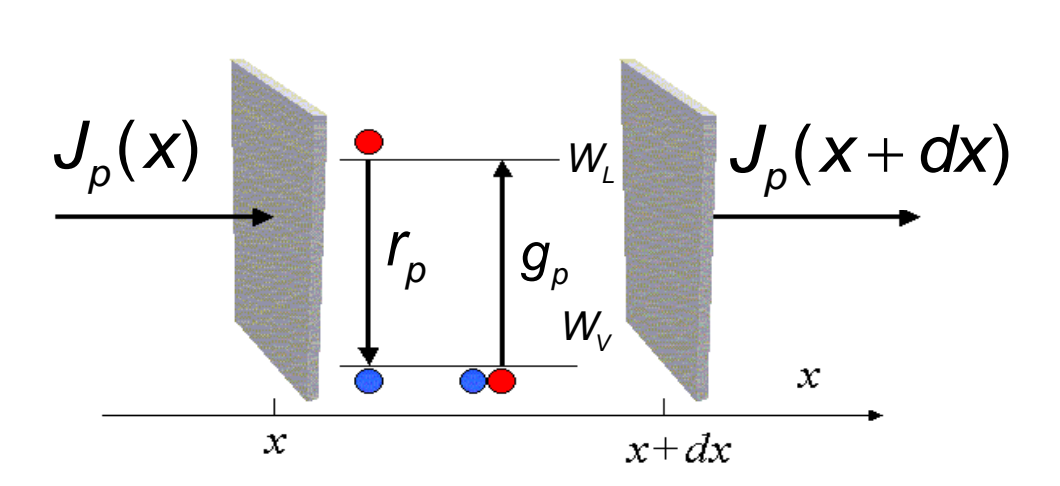
(H1)
$$\vec{J}_n = en\mu_n \vec{E} + eD_n \nabla n$$

$$\vec{J}_p = ep\mu_p \vec{E} - eD_p \nabla p$$

Drift- und Diffusion

Wie ändert sich dann die lokale Ladungsdichte

$$\rho = e(p-n)$$
?



$$\frac{\partial(\mathsf{ep})}{\partial t} = -\frac{\partial J_{p}}{\partial x} + \mathsf{e}(g_{p} - r_{p})$$

bzw. in 3D:

$$\frac{\partial(\mathbf{e}p)}{\partial t} + \nabla \vec{J}_{p} = \mathbf{e}(g_{p} - r_{p})$$

(Kontinuitätsgleichung)

Halbleitergrundgleichungen

(H1)
$$\vec{J}_n = en\mu_n \vec{E} + eD_n \nabla n$$
(H2)
$$\vec{J}_p = ep\mu_p \vec{E} - eD_p \nabla p$$

Drift- und
Diffusionsgleichung
für Elektronen und Löcher

(H3)
$$\frac{\partial (-\mathbf{e}n)}{\partial t} + \nabla \vec{J}_n = -\mathbf{e}(g_n - r_n)$$

(H4)
$$\frac{\partial (ep)}{\partial t} + \nabla \vec{J}_p = e(g_p - r_p)$$

Kontinuitätsgleichungen für Elektronen und Löcher

...dann fehlt nur noch die Verkopplung von Ladung und E-Feld...

Maxwell-Gleichung:
$$\nabla \vec{D} = \nabla \varepsilon \varepsilon_0 \vec{E} = \rho$$
 bzw. mit $\vec{E} = -\nabla \varphi$

die Poisson-Gleichung: divgrad
$$\varphi = \nabla^2 \varphi = \Delta \varphi = -\frac{\rho}{\mathcal{E}\mathcal{E}_0}$$

Halbleitergrundgleichungen

(H1)
$$\vec{J}_n = en\mu_n \vec{E} + eD_n \nabla n$$

(H2)
$$\vec{J}_{p} = ep\mu_{p}\vec{E} - eD_{p}\nabla p$$

Drift- und Diffusion

(H3)
$$\frac{\partial (-en)}{\partial t} + \nabla \vec{J}_n = -e(g_n - r_n)$$

(H4)
$$\frac{\partial (ep)}{\partial t} + \nabla \vec{J}_{p} = e(g_{p} - r_{p})$$

Kontinuitätsgleichungen

(H5)
$$\Delta \varphi = -\frac{\mathsf{e}}{\varepsilon \varepsilon_0} (p - n + n_D^+ - n_A^-); \ \overrightarrow{E} = -\nabla \varphi$$

Poisson-Gleichung

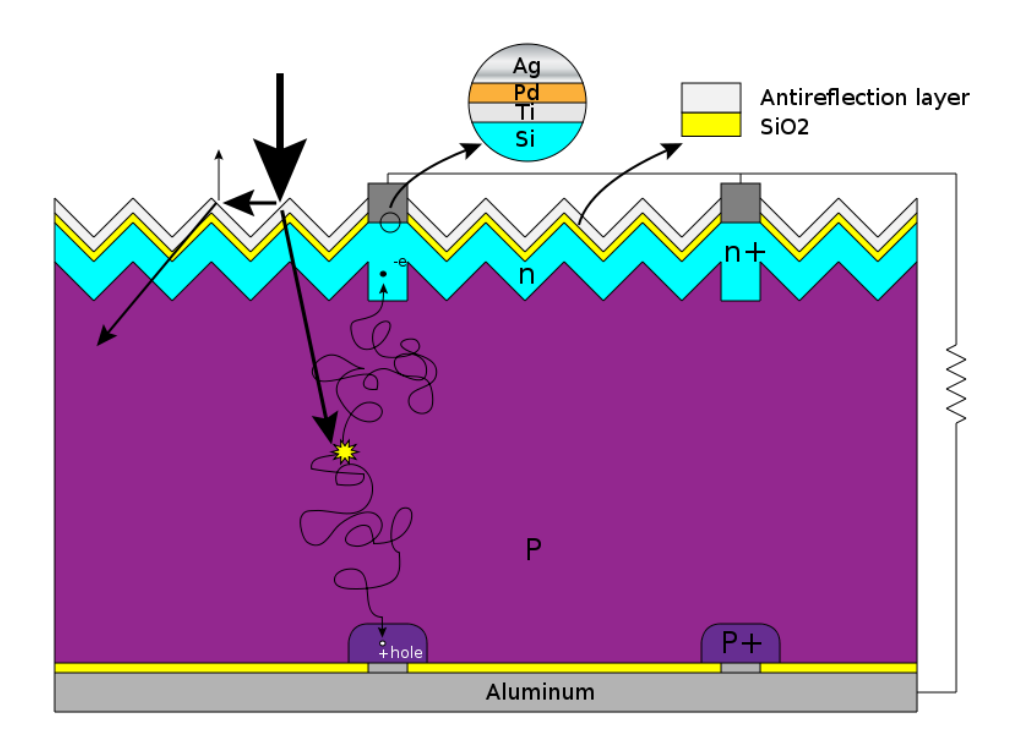
Übersicht

2.6 Transport und Rekombination

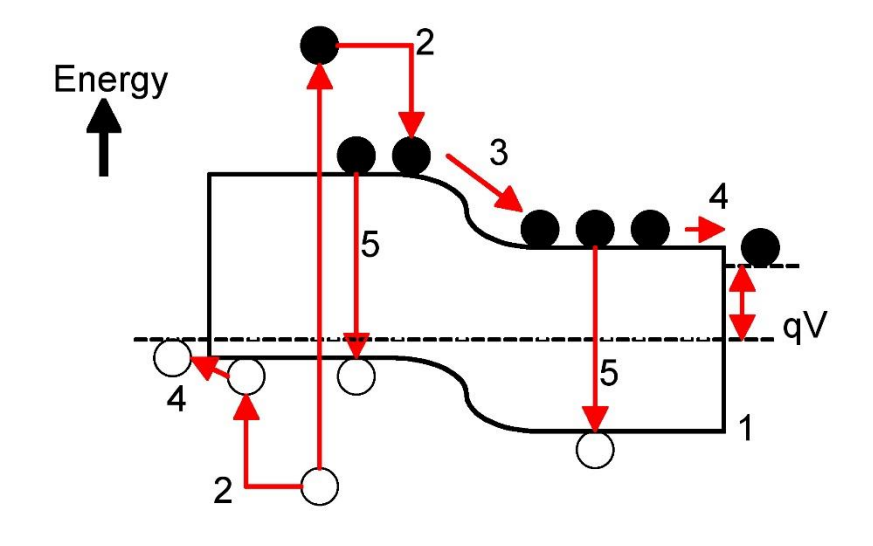
- 2.6.1 Driftstrom
- 2.6.2 Diffusionsstrom
- 2.6.3 Halbleitergrundgleichungen
- 2.6.4 Rekombinationsprozesse

Rolle der Rekombination

Schema einer Solarzelle



Banddiagramm einer Solarzelle



Rekombination (5) reduziert den Photostrom

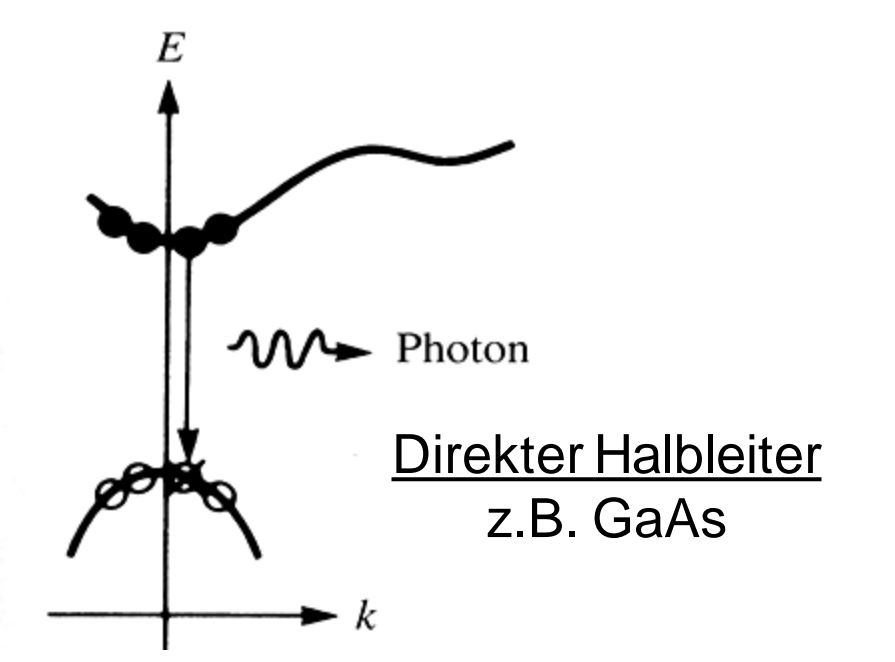
Rekombinationprozesse

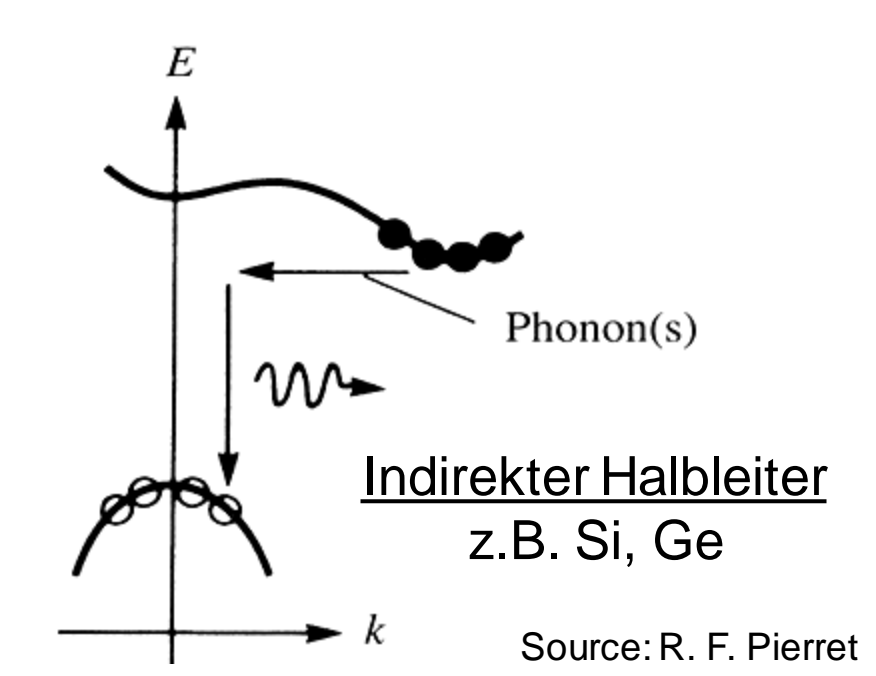
- Strahlende Rekombination (nicht vermeidbar)
- Nichtstrahlende Rekombination
- Auger-Rekombination
- Shockley-Read-Hall Rekombination
- Grenzflächen-Rekombination
- Korngenzen-Rekombination

Strahlende Rekombination

Photonen haben einen sehr kleinen Impuls k_L. Deshalb finden nur senkrechte Übergänge im W-k-Diagramm mit hoher Wahrscheinlichkeit statt.

- ⇒ Bei direkten HL liegt die Lebensdauer für strahlende Übergänge im Bereich von Nanosekunden. Sie können als effiziente Lichtquellen verwendet werden (LED, Laser).
- ⇒ Bei indirekten HL kann Lichtemission nur in einem unwahrscheinlichen Dreierstoß (Elektron-Photon-Phonon) stattfinden und die Lebensdauer für strahlende Emission liegt im Millisekundenbereich.

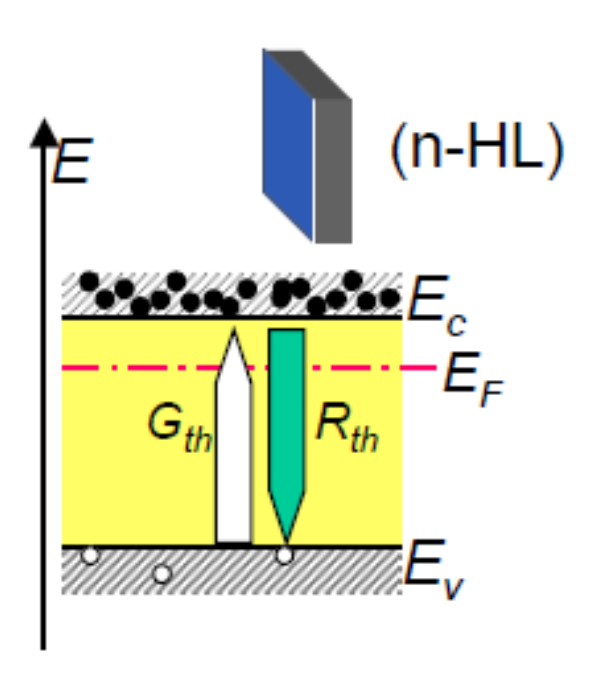




Veranschaulichung der Ratenbilanz: Überschuss-Ladungsträger

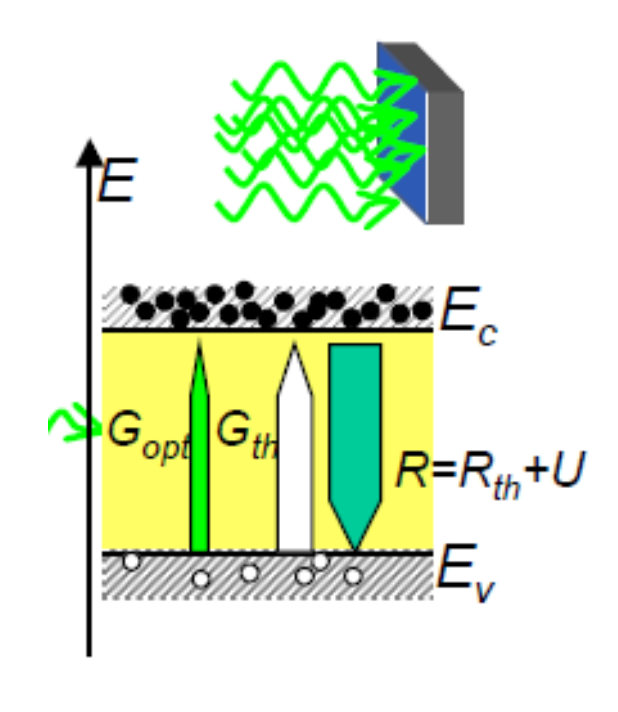
Halbleiter im Dunklen: thermisches Gleichgewicht

thermische Erzeugung von Elektron-Loch-Paaren ist genauso groß wie die Rekombination



Beleuchteter Halbleiter: stationäres Nicht-Gleichgewicht

optische Erzeugung G_{opt} von e-/h+-Paaren addiert sich zu G_{th}



Quelle: nach W. Jaegermann, TU Darmstadt

Beschreibung der strahlenden Rekombination

•Rekombinationsrate von Elektronen und Löchern durch spontane Emission:

$$r_{opt} = B \cdot n \cdot p$$
 —wobei B: Rekombinationskoeffizient

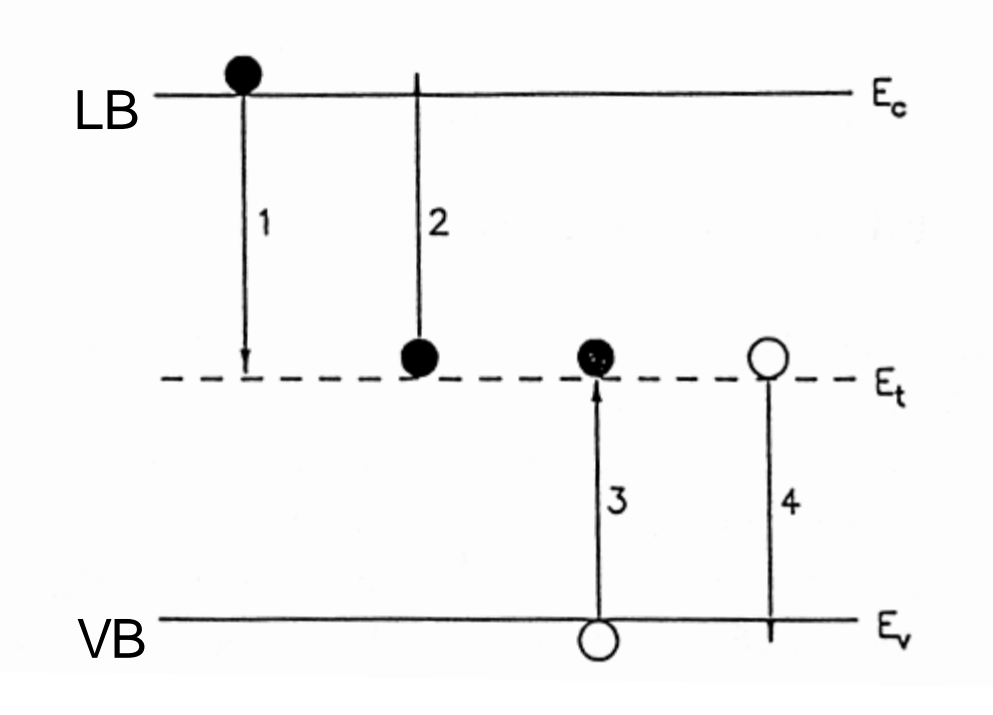
•Die Rekombination steht im thermischen Gleichgewicht mit der Generation durch Absorption der thermischen Hintergrundstrahlung:

$$g_{opt} = r_{opt} = Bn_i^2$$

•Sind zusätzliche Photonen oder überschüssige Ladungsträger vorhanden (z.B. durch Bestrahlung) finden zusätzlich stimulierte Emissions- und Absorptionsprozesse statt, die zur Photonendichte proportionale Raten haben.

→ LEDs, Laserdioden

Störstellenrekombination



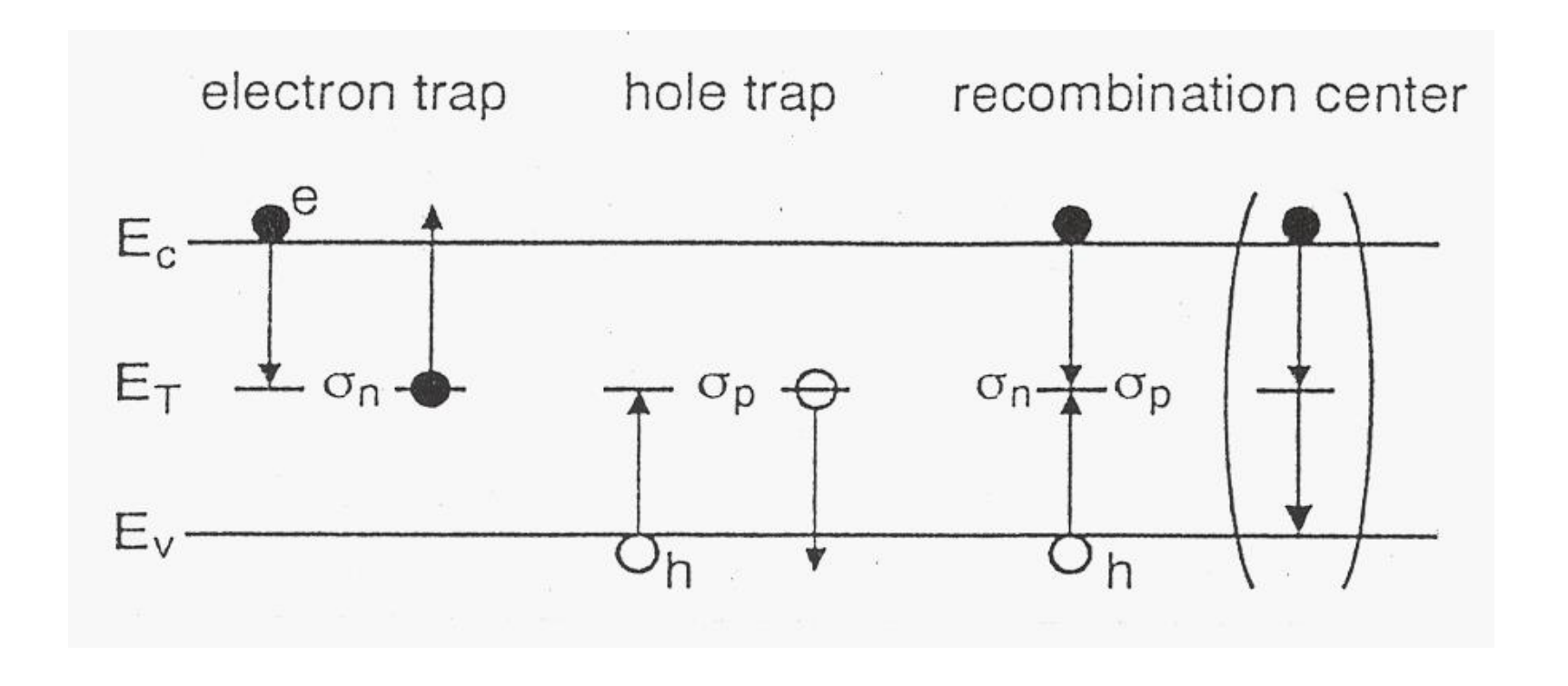
Störstellenrekombination: Elektron und Loch werden in dieselbe Störstelle eingefangen

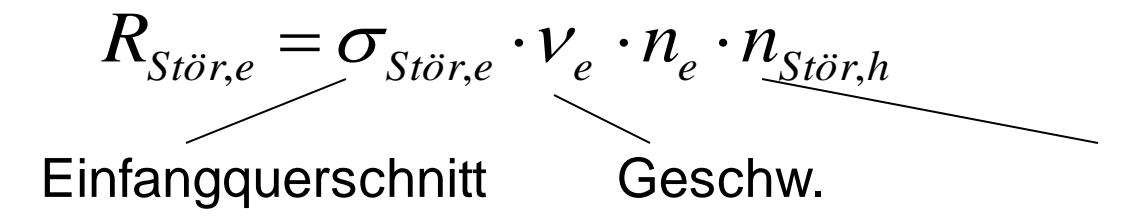
- Shockley-Read-Hall-Rekombination (Betrachtung der aller Raten)

$$r_{\mathrm{St,e}} = N_{t} \sigma V_{th}$$

N_t: Dichte Trapniveaus σ: Einfangquerschnitt v_{th}: therm. Geschw.

Störstellen-Rekombination





analog für Löcher

Dichte der Rekomb. Partner

Störstelle kann keine e oder hanhäufen $ightarrow R_{Stör,e} = R_{Stör,h}$

Rekombinationszentren

unbesetzt: elektrisch neutral

akzeptorartig:

besetzt: negativ geladen

unbesetzt: positiv geladen

donatorartig:

besetzt: elektrisch neutral

Die Störstellenrekombination über tiefe Störstellen ("traps") mit mehr als 100meV von der Bandkante nennt man auch Shockley-Read-Hall-Rekombination (SRH)

 σ_e , σ_h , Einfangquerschnitte (Größenordnung 10⁻¹⁵cm²)

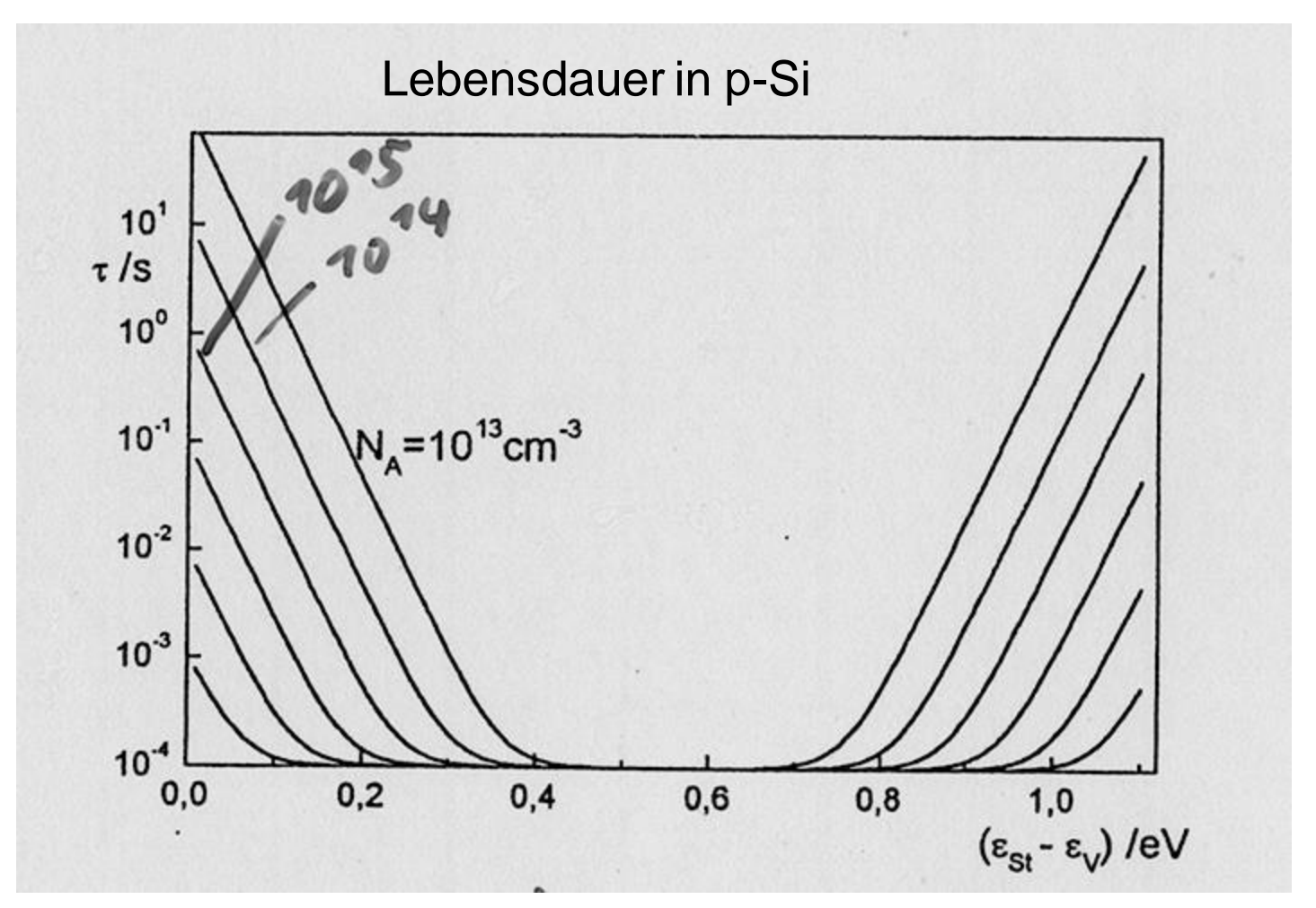
 $\sigma_e \gg \sigma_h$ Elektron trap

 $\sigma_e = \sigma_h$ Rekombinationszentrum

 $\sigma_{\rm e} << \sigma_{\rm h}$ Löcher trap

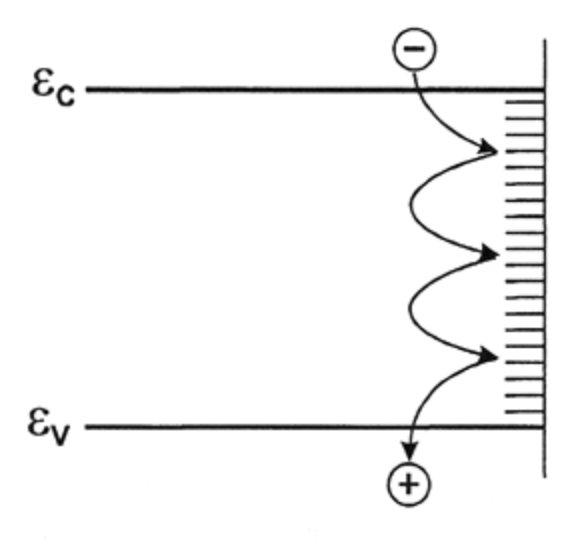
Elektron und Loch "traps" sind relativ harmlos in Solarzellen Rekombinationszentren jedoch tödlich! (z.B. Fe, Ni, Au in Si)

Shockley-Read-Hall-Rekombination



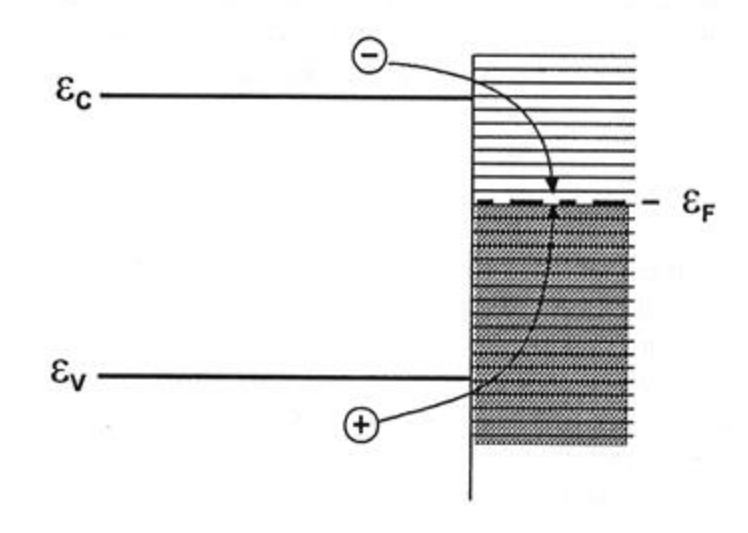
Wenn $\mathcal{E}_{St\ddot{o}r}$ in der Mitte des Bandes \Rightarrow schlechtester Fall Für eine feste Störstellenenergie wird die Lebensdauer größer bei kleinerer Dotierung.

Oberflächenrekombination



Rekombination über kontinuierlich über der Energie verteilte Oberflächenzustände

Oberflächenrekombination über
Oberflächenzustände

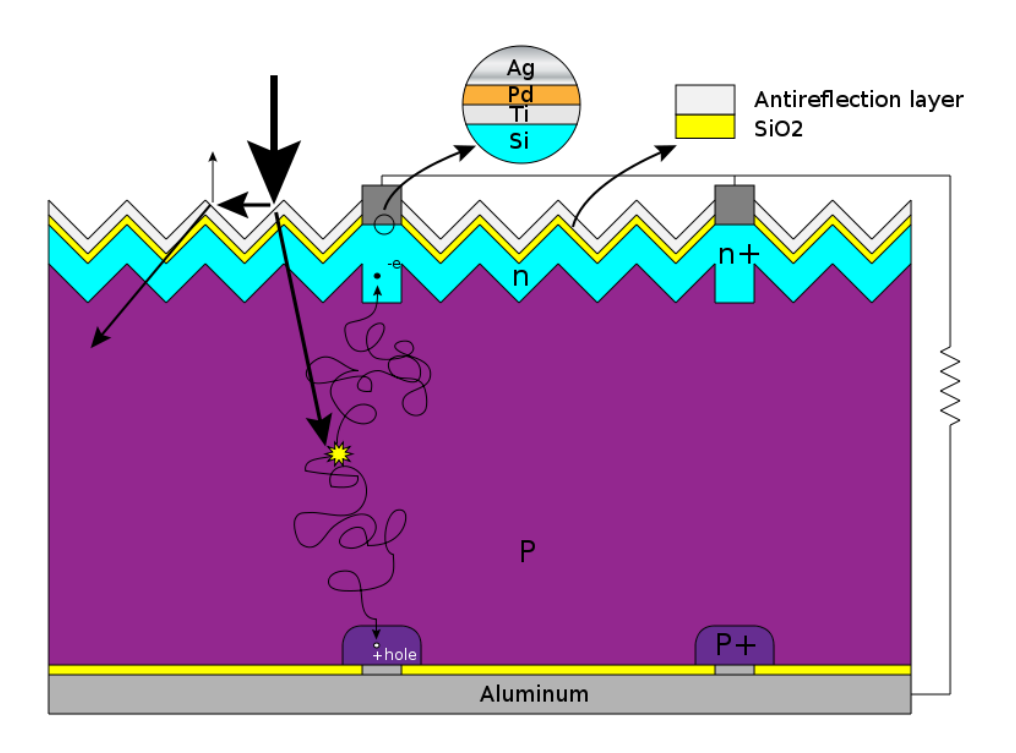


Die Zustandsverteilung am Halbleiter - Metall Kontakt hat eine große Oberflächenrekombinationsgeschwindigkeit zur Folge

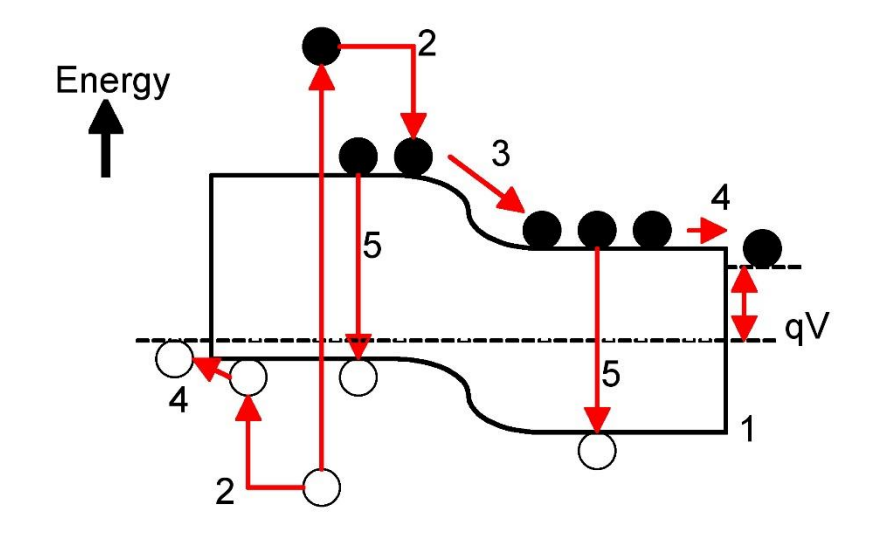
Oberflächenrekombination an der Grenzfläche zum Metall

Rolle der Rekombination

Schema einer Solarzelle



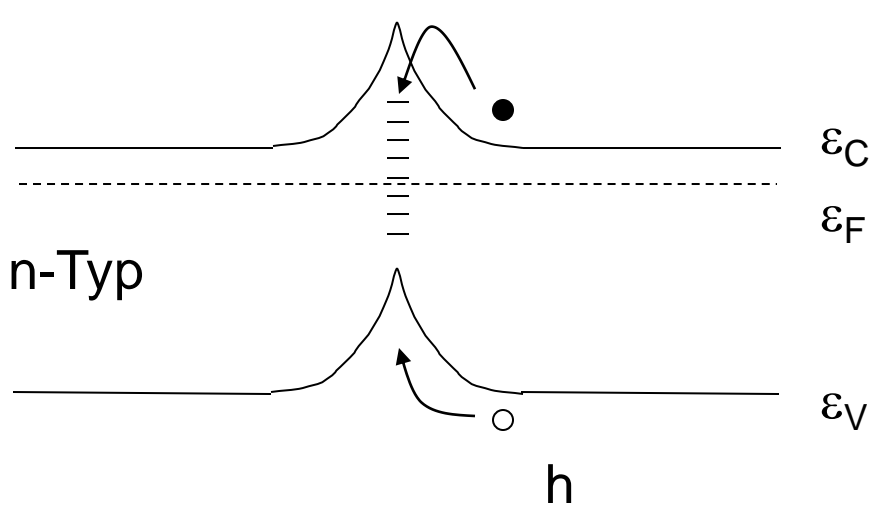
Banddiagramm einer Solarzelle

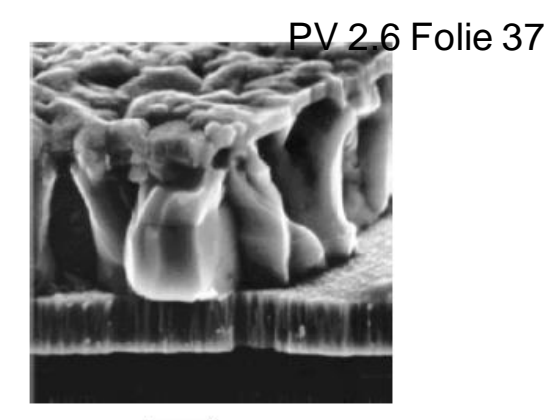


Rekombination (5) reduziert den Photostrom

tion

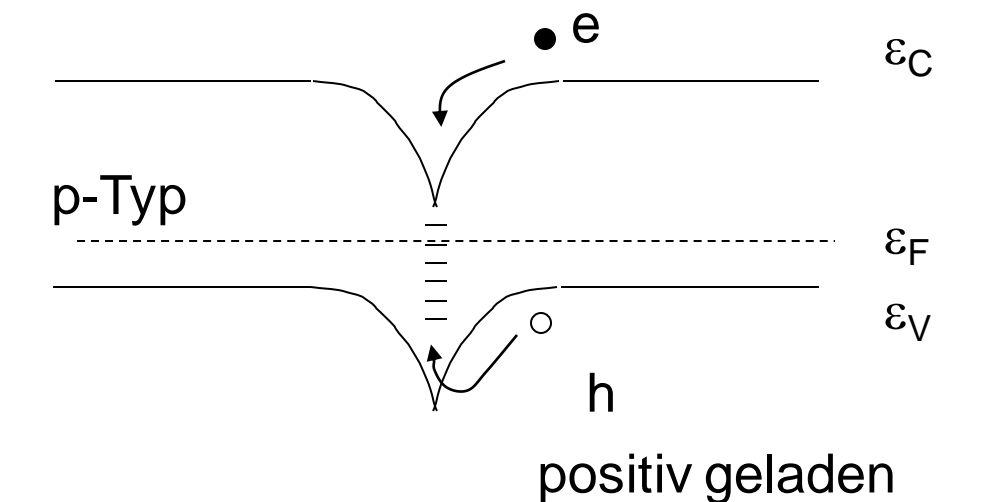
negativ geladen





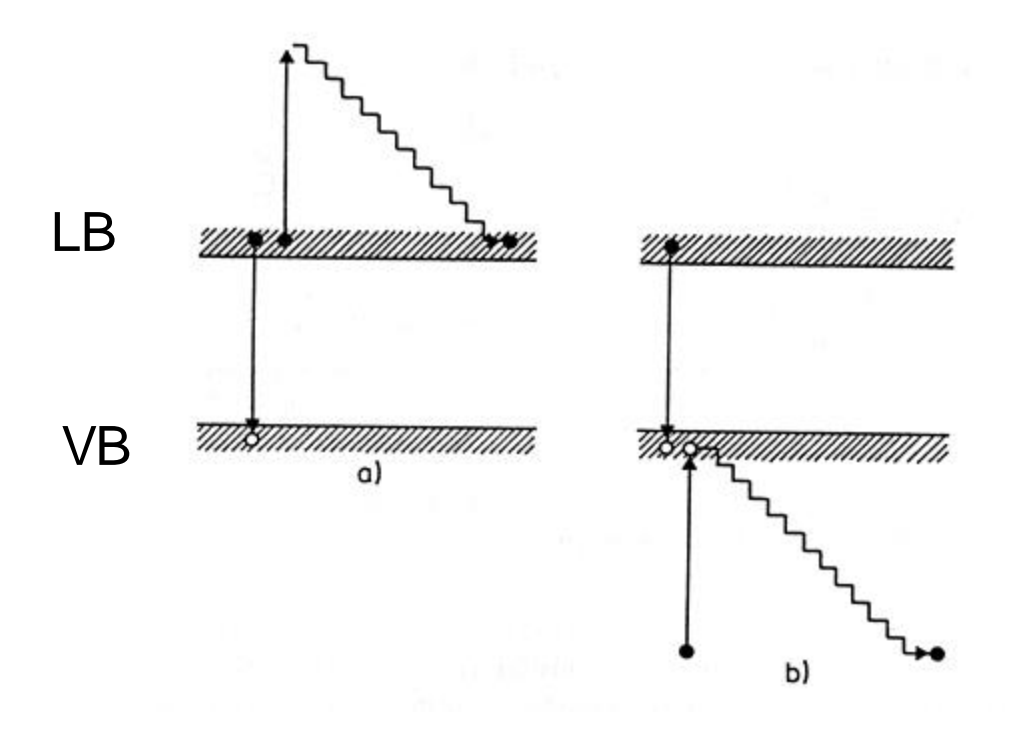
 $1 \mu \text{m}$

geladene Grenzflächenzustände durch Einfang von Majoritäten



bei Si wichtig bei CIS weniger

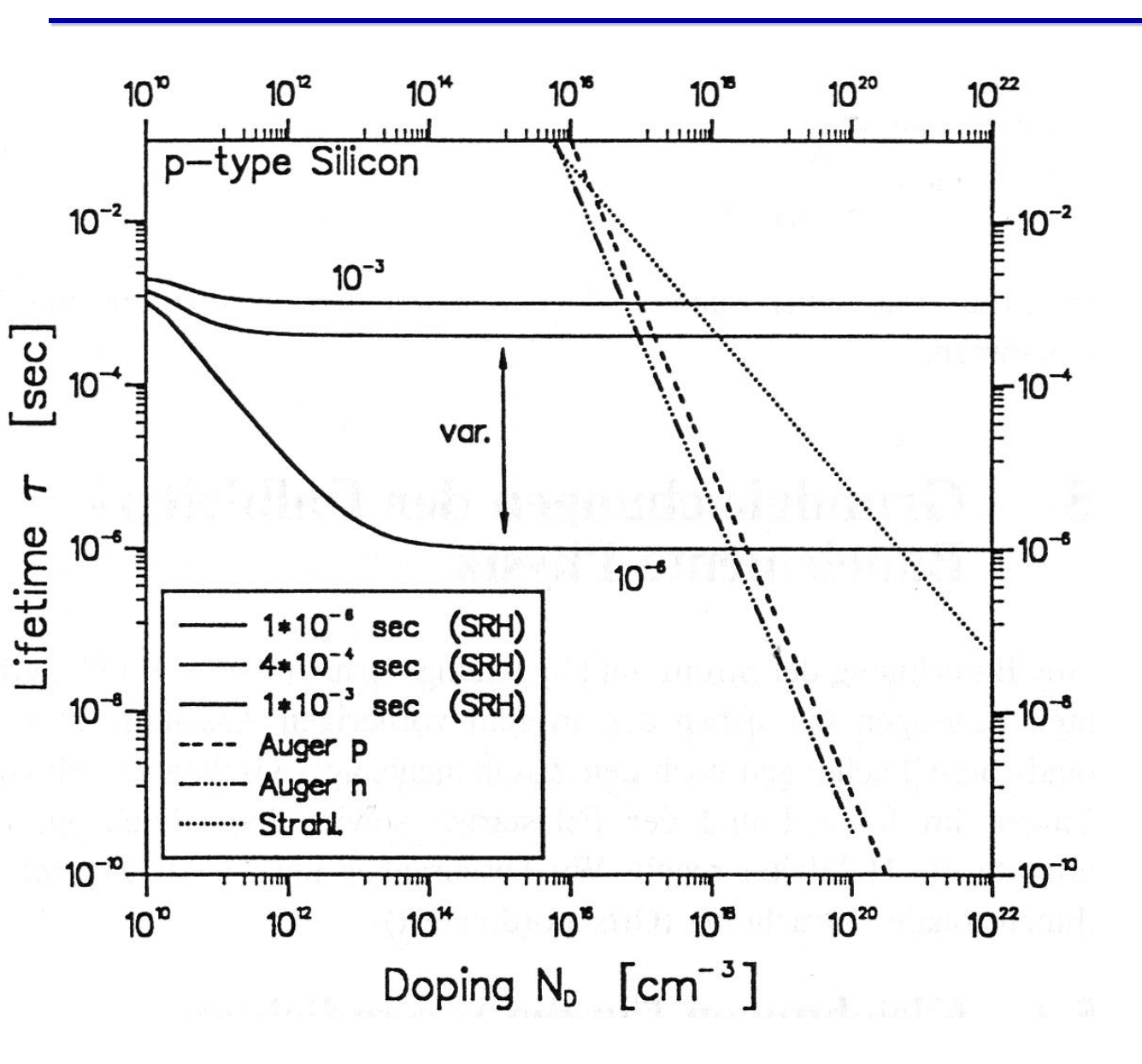
Rekombination: Auger



Augerrekombination: Elektron und Loch rekombinieren und Energie wird von drittem Teilchen aufgenommen

$$r_{Auger} = r_{Auger,eeh} + r_{Auger,ehh} = C_1 n^2 p + C_2 n p^2$$

Dotierungsabhängigkeit der Lebensdauer



Lebensdauer eines photoangeregten Elektrons

$$r_{gesamt} = \frac{1}{\tau_{gesamt}} =$$

$$r_{opt} + r_{Auger} + r_{St} + \dots$$

Quelle: Goetzberger: Photovoltaik

Lebensdauer

Bei schwacher Anregung d.h. Zusatzkonzentration durch Beleuchtung klein gegen Majoritätendichte Im stromlosen Fall aus Kontinuitätsgleichung

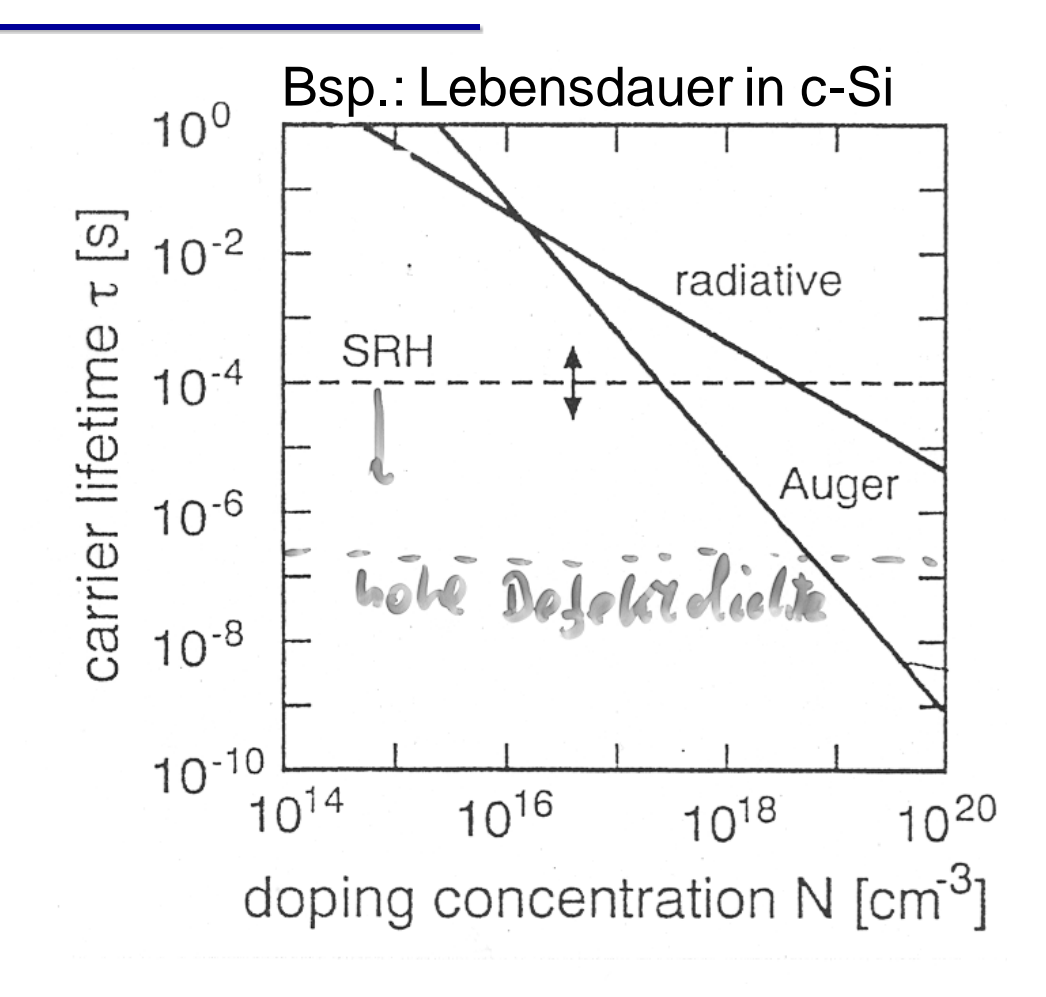
$$\Delta n_e(t) = \Delta n_e(0) \qquad e^{\frac{-t}{\tau_e}}$$

$$\tau_e = \frac{1}{B \cdot n_h^0}$$

$$\Delta n$$

Bei Änderung: momentane Lebensdauer

$$\frac{1}{\tau_e} = \sum_i \frac{1}{\tau_i}$$

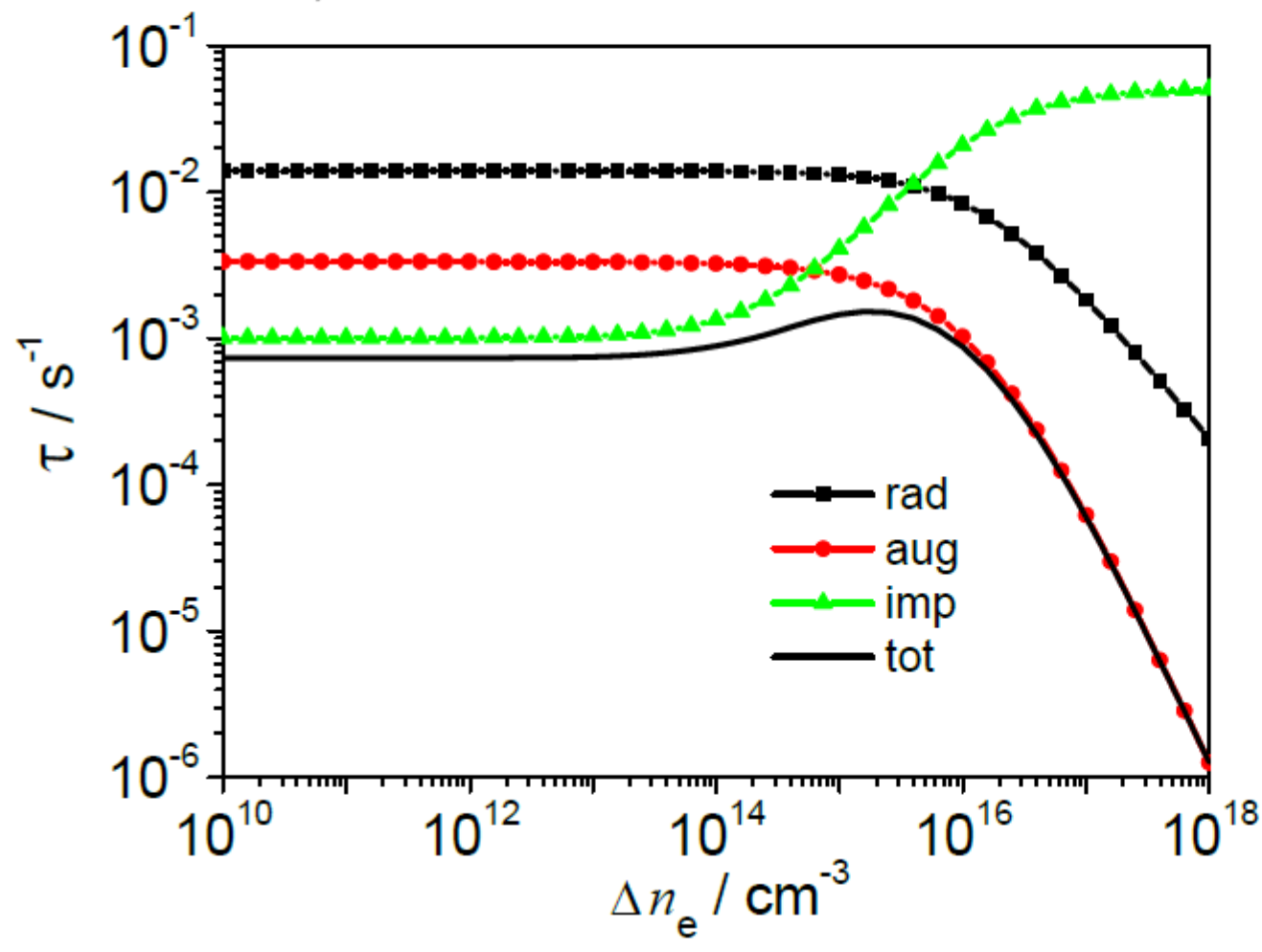


Überlagerungsprinzip gilt generell

Lebensdauer für verschiedene Rekombinationsmechanismen in Si bei verschiedenen Einstrahlungen

Beispiel: p-dotiertes Si

 $\rho = 1\Omega cm$, $nA \approx 1.5 \times 1016 \text{ } 1/cm^3$



Abschätzung für Überschussladungsträger

Ausgehend von einem Halbleiter mit der intrinsischen Ladungsträgerdichte:

$$n_i = 10^{10} / cm^3$$

Einer n-Dotierung von: $n_e = 10^{16} / cm^3$

Ergibt sich: $n_h^0 = 10^4 / cm^3$

(aus Massenwirkungsgesetz)

Photonenfluss bei AM1.5 (2eV): $P = 10^{17} / cm^2 / s$

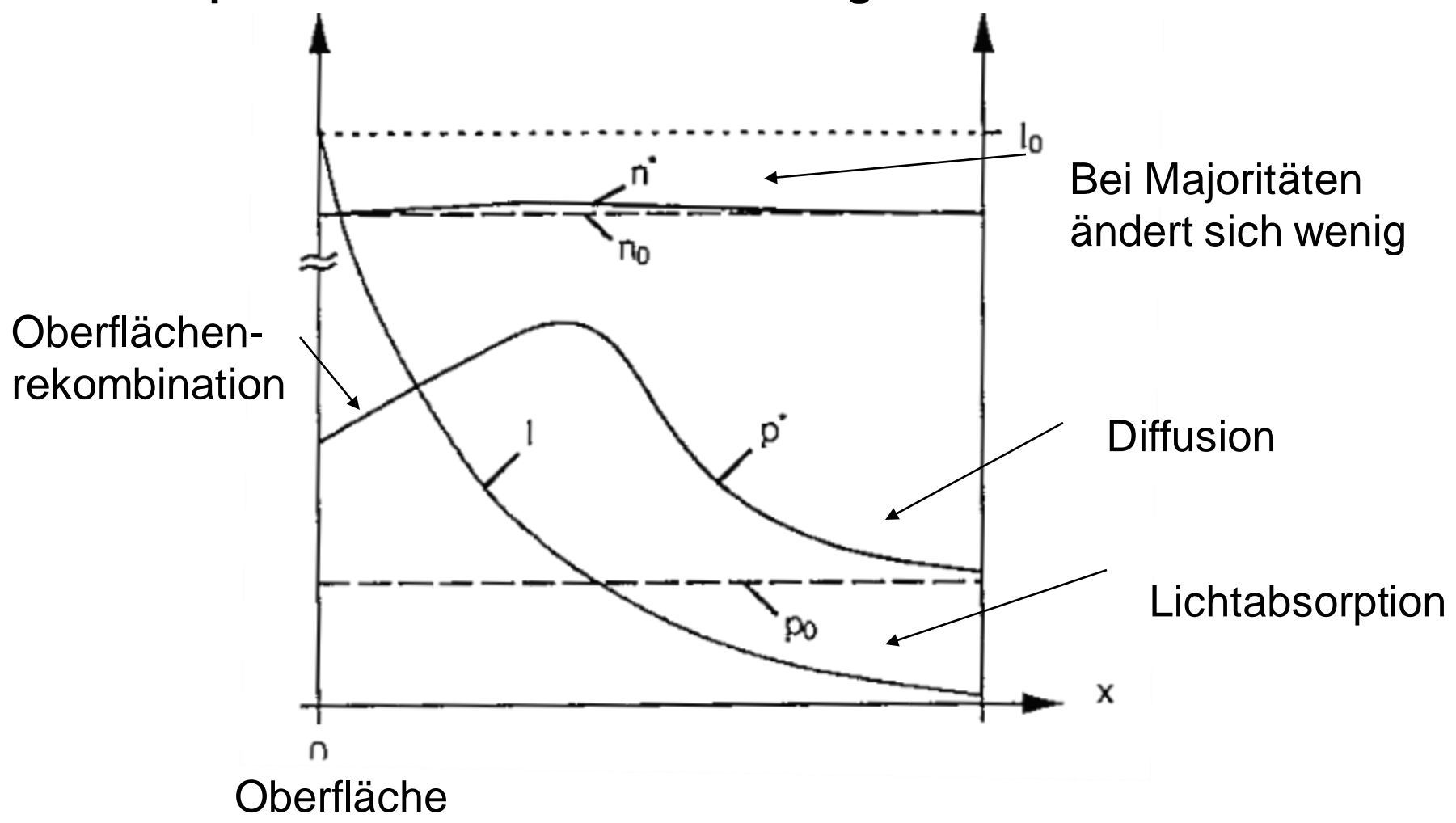
Annahme für Lebensdauer: $\tau = 10^{-6} s$

Absorption der Photonen innerhalb eines Volumens mit der Grundfläche 1cm² und der Tiefe x=10µm

$$\Delta n_e = \Delta n_h = P\tau / x = 10^{14} / cm^3$$

- →Bezogen auf die Majoritäten +1%!!
- →Bezogen auf die Minoritäten + 10 Größenordnungen
- →Beobachtete Photoeffekte werden durch die Minoritäten bewirkt

Vergleich des Konzentrationsprofils durch: a) Lichtabsorption b) tatsächlichen Konzentrationsprofil mit und ohne Beleuchtung



Quelle: Lewerenz, Jungblut: Photovoltaik

Überschusskonzentrationen unter Beleuchtung

